

A) Вихрь в потенциале сферич. зеркал

$$F = \int \left[\frac{\epsilon_1}{2} \left(\frac{\partial \bar{u}}{\partial z} \right)^2 + V(\bar{u}, z) \right] dz$$

← случайный процесс
потенциала

$$\langle V(\bar{u}, z) V(\bar{u}', z') \rangle = \gamma \delta_{\frac{z}{L}}(\bar{u} - \bar{u}') \delta_{\frac{z-z'}{L}} = \gamma K(\bar{u}) \delta_{\frac{z-z'}{L}}^{-1}$$

$$\dim(\gamma) = E \frac{z^2}{L}$$

$$K(\bar{u}) = 1$$



$$\epsilon_1 \frac{u^2(z)}{z} \sim \sqrt{\gamma} z$$

при малых z

Верно пока $u(z) \lesssim \frac{z}{L}$, т.е.

$$\epsilon_1 \frac{z^2}{L^2} \sim \sqrt{\gamma} z_*^{3/2} \Rightarrow z_* = \left(\frac{\epsilon_1 L^2}{\sqrt{\gamma}} \right)^{2/3}$$

$$z_* = \left(\frac{\epsilon_1 L^2}{\sqrt{\gamma}} \right)^{2/3}$$

При $z \lesssim z_*$ случайный процесс не коррелированное сложение вкладов в $\int V(\bar{u}, z) dz$

Пример для множества зарядов в однородной среде, интерпретировать и т.д.

$\psi(\vec{u}, z)$ - волновая функция с условием $\psi(z) = \bar{\psi}$

$$\frac{\partial \psi}{\partial z} = \frac{1}{2\varepsilon_1} \frac{\partial^2 \psi}{\partial \vec{u}^2} + \frac{1}{T} V(\vec{u}, z) \psi$$
 - Аналогия у.ш. в микром. времени

$F(\vec{u}, \beta) = -T \ln W(\vec{u}, z)$ - free energy
 тогда для \vec{v} имеем

$$\vec{v} = \frac{1}{\varepsilon_1} \frac{\partial F}{\partial \vec{u}}$$

уравнение энергии:

$$\frac{\partial \vec{v}}{\partial z} = \frac{1}{2\varepsilon_1} \nabla_{\vec{u}}^2 \vec{v} - (\vec{v} \nabla_{\vec{u}}) \vec{v} - \frac{1}{\varepsilon_1} \nabla_{\vec{u}} V(\vec{u}, z)$$

weise

$$\frac{d\vec{v}}{dt} = \nu \nabla^2 \vec{v} + f(\vec{r}, t)$$

Уравнение Бюргера в гидродинамике

В нашем случае

$$\dim[\vec{v}] = L$$

$$\dim(\vec{u}) = L$$

уравнение Бюргера:

$$\frac{\partial \vec{v}}{\partial z} = \frac{\Gamma}{2\varepsilon_1} \nabla_u^2 \vec{v} - \underbrace{(\vec{v} \nabla_u) \vec{v}}_{\text{noise}} - \frac{1}{\varepsilon_1} \nabla_u V(\vec{u}, z)$$

Даже $d=1$ ^{решения} у Бюргера

$$\frac{\partial v}{\partial z} + v \frac{\partial v}{\partial u} = \frac{\Gamma}{2\varepsilon_1} \frac{\partial^2 v}{\partial u^2} - \frac{1}{\varepsilon_1} \frac{\partial V(u, z)}{\partial u}$$

удовлетворяет аналогу ФФТ:

$$P[v(u, z)] = \exp\left[-\frac{z}{2} \int du v^2(u, z)\right]$$



Раздел 4В статьи

PhysRevA 16
732 (1977)

$$\lambda = \frac{\varepsilon_1 T}{\gamma \Sigma}$$

$$\frac{\psi(u, z) \psi(u', z)}{\psi(u, z) \psi(u', z)} = \frac{1}{\lambda} \delta(u - u')$$



$$\overline{(F(u, z) - F(u', z))^2} = \frac{\gamma \Sigma \varepsilon_1}{T} |u - u'|$$

Кроме того: если турбулентное
 $u(z) \sim z^{\gamma}$, а функция скорости $F(z) \sim z^{\chi}$

то всегда выполняется

$$\boxed{2\gamma - 1 = \chi}$$

$$F \sim u^2/z$$

это верно в любой
размерности

Для 1+1 задачи имеем также

$$\overline{(F(u, z) - F(u', z))^2} = \frac{\gamma \sum \epsilon_i}{T} |u - u'| \quad \rightarrow \quad \boxed{2\chi = \zeta}$$

В результате

$$\underline{\zeta = \frac{2}{3}} \quad \chi = \frac{1}{3}$$

только в $d=1$
т.е. только на
плоскости

Тот же ответ совсем другим способом:

Depinning by Quenched Randomness

Mehran Kardar PRL 55, 2235 (1985)

Оценка 2кл критического тока

$$\delta F(z) \sim j \frac{\Phi_0}{c} \mathcal{U}(z) \quad j_c \approx \frac{c}{\Phi_0} \frac{\delta F(z)}{\mathcal{U}(z)} \sim \frac{z^{1/3}}{z^{2/3}}$$

Максимум $j_c(z)$ соответствует мин. масштабу

$$z \sim z_* = \left(\frac{\xi_1 \lambda}{\sqrt{8}} \right)^{2/3}$$

Взаимодействие вихря на плоскости из-за беспорядка - комментарий

5) Решење вукрећ

Теорема универзалног вукрећног решења

$$E = \frac{1}{2} \int d^3r \left[(c_{11} - c_{66}) (\nabla \bar{u})^2 + c_{66} (\nabla_{\perp} u_{\beta})^2 + c_{44} \left(\frac{\partial \bar{u}}{\partial z} \right)^2 \right]$$

$$\frac{c_{11} - c_{66}}{B^2} = \frac{\partial^2 F}{\partial B^2} = \frac{\partial H}{\partial B} \frac{1}{4\pi H} \quad (\nabla \bar{u})^2 = \frac{\delta B}{B}$$

$$\left(\frac{\partial u}{\partial z} \right)^2 \frac{B}{2} = \delta B \Rightarrow \delta B \frac{\delta F}{\delta B} = \frac{H}{4\pi} \frac{B}{2} \left(\frac{\partial \bar{u}}{\partial z} \right)^2 \Rightarrow c_{44} = \frac{HB}{4\pi}$$

C_{66} надо считать суммарно по решетке
 для $H_{C1} \ll B \ll H_{C2}$: $C_{66} = \frac{\Phi_0 B}{(8+\lambda)^2}$

$$F_{el} = \frac{1}{2} \sum_{\vec{k}, \vec{q}} \left\{ [C_{11} q^2 + C_{44} k^2] u_{||}^2(\vec{q}) + [C_{66} q^2 + C_{44} k^2] u_{\perp}^2(\vec{q}) \right\}$$

B) Правление решетки Вилкеев

$(u^2)_T = C_L^2 a_0^2$ $C_L \approx 0.15$ - число Ландауэ
 можно считать $(u^2)_T = \int \frac{d^2 q d^2 k}{(2\pi)^3} \left[\frac{T}{C_{11} q^2 + C_{44} k^2} + \frac{T}{C_{66} q^2 + C_{44} k^2} \right]$

H_0 в области $H_{c1} \ll B \ll H_{c2}$ формулы для C_{11}, C_{44}

надо модифицировать при $\lambda_k, \lambda_g \geq 1$

$$C_{11}(q) = C_{44}(q) = \frac{B^2}{4\pi} \frac{1}{1 + (q\lambda)^2}$$

Проведем оценку поворота дельта функции при $B \gg H_{c1}(T)$ заметим, что

$$T_M \approx \epsilon_0 a_0 \Rightarrow B_M(T) \approx \# \frac{\Phi_0}{T^2 (4\pi\lambda)}^4 \cos \left(T - \frac{T}{T_c} \right)^2$$

$$\frac{B_M(T)}{H_{c2}(T)} \approx \alpha_m \frac{1-t}{G_i} \quad T = T/T_c$$

$$\alpha_m \approx 2 \cdot 10^{-2} \Leftrightarrow$$

$$\boxed{\frac{T_M \approx 0.1}{\epsilon_0 a_0}}$$

А.И.Ларкин

ЖЭТФ. 58, 1466 (1970)

Г) Разрушение дальнего порядка
Вихревой решетки

$$E_{el}^{3D} = \frac{1}{2} \int d^3r \left[(C_{11} - C_{66})(\nabla \cdot \mathbf{u})^2 + C_{66}(\nabla_a u_b)^2 + C_{44} \left(\frac{d\mathbf{u}}{dz} \right)^2 \right]$$

$$F\{\vec{u}(\vec{r})\} = E_{elastic} + \int \bar{u} \bar{f}(\vec{r}) d^3r$$

связанная сфера

$$f_\alpha(\vec{r}) f_\beta(\vec{r}') \sim \delta_{\alpha\beta} f^2(\vec{r}, \vec{r}')$$

нет корреляций

$$\frac{\delta E_{pru}}{\delta \vec{u}}$$

$$\vec{u}_{\vec{p}}^{\perp} = \frac{\vec{f}_{\vec{p}}^{\perp}}{C_{66} q^2 + C_{44} k^2}$$

$$\vec{u}_{\vec{p}}^{\parallel} = \frac{\vec{f}_{\vec{p}}^{\parallel}}{C_{11} q^2 + C_{44} k^2}$$

$$\overline{(\vec{u}(\omega) - \vec{u}(\vec{r}))^2} = 2 \int \frac{d^2 q}{(2\pi)^2} \frac{dk}{2\pi} \frac{|\vec{f}_{\vec{p}}^{\perp}|^2 (1 - \cos(\vec{q}\vec{r} + kz))}{(C_{66} q^2 + C_{44} k^2)^2} + \text{parallel}$$

расчет непрерывен по \vec{r} с поправкой $|\vec{r}|$

$$\frac{f^2}{4\pi} \left\{ \frac{\sqrt{\rho^2 C_{44} + z^2 C_{11}}}{C_{44} C_{11}^{3/2}} + \frac{\sqrt{\rho^2 C_{44} + z^2 C_{66}}}{C_{44} C_{66}^{3/2}} \right\}$$

При некотором ρ_c, z_c эта величина
сравнивается с постоянной решетки
вихрей $a_0 = \sqrt{\frac{\Phi_0}{B}}$

$$\rho_c \approx \frac{a_0^2 \kappa_{44}}{f^2 (C_{11}^{-3/2} + C_{66}^{-1/2})}$$

$$z_c \approx \frac{a^2 C_{44}}{f^2 (C_{11}^{-1} + C_{66}^{-1})}$$

Скаль угодно слабой примеси
приводят к конечному радиусу
ближнего порядка вихревой решетки

77)

Коллективные пиннинги:

Лекция 6-5

что определяет крит. ток J_c

Аналогично 1-вихревому примеру,
смотрим величины ρ_c и ξ_c при

которых
$$\frac{\rho_c}{(\xi_c - \xi_0)^2} \sim \xi_c^2$$

Если $\rho_c, \xi_c \gg \lambda$, то дисперсия модулей
не важна, получаем

$$\rho_p \approx \lambda \left(\frac{\xi_c^0}{a_0} \right)^3$$

$$\xi_p \approx \frac{\lambda}{a_0} \rho_p$$

Длина пиннинга 1-вих

$$\frac{\xi_p}{\xi_c} = \left(\frac{\varepsilon_1 \lambda^4}{\gamma} \right)^{1/3}$$

Такой же ответ получится из сравнения упругой энергии деформации и энергии пиннинга

$$C_{66} \frac{\xi^2}{\rho_p^2} \rho_p^2 z_p \sim C_{44} \frac{\xi^2}{z_p^2} \rho_p^2 z_p \sim \sqrt{\frac{B}{\Phi_0} \rho_p^2 z_p \cdot \xi}$$

и

Заметим: при $B \ll H_{c2}$, т.е. $a_0 \gg \xi$, получаем
 длину пиннинга $\rho_p, z_p \ll \rho_c, z_c$
 (длины корреляции решетки)

Результат:

$$R_p \simeq \lambda \left(\frac{L_p}{a_0} \right)^3, \quad L_p^{3D} \simeq \frac{\lambda}{a_0} R_p, \quad E_{\text{пинн}}^{3D} \simeq H_{\text{ст}}^2 \xi^3 \frac{\xi}{L_p} \left(\frac{\lambda}{a_0} \right)^2 \left(\frac{L_p}{a_0} \right)^4$$

Кроме того, для определения критической плотности тока j_c следует, как и выше, приравнять силу Лоренца $j_c \frac{1}{c} B V_p$ (теперь — действующую на единицу объема вихревой решетки) к максимальной объемной силе пиннинга $\mathcal{F}_{\text{пинн}} \simeq E_{\text{пинн}}^{3D} / \xi$. В результате

$$j_c^{3D} \simeq j_c \left(\frac{a_0}{\lambda} \right)^2 \left(\frac{a_0}{L_p} \right)^4 \propto B^{-3}.$$

С увеличением индукции B , а потому и жесткости вихревой решетки, растет размер области пиннинга, и падает критический ток

Трехмерный критический ток (выше) не переходит в одномерный аналог при $a_0 \sim L_p$.

$$j_c \simeq j_0 \left(\frac{\xi}{L_p} \right)^2$$

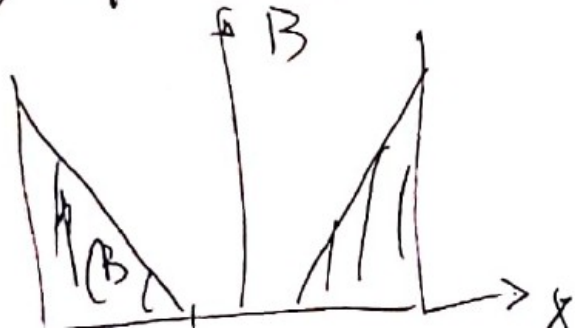
Причина: для малых длин пиннинга надо учесть дисперсию упругих модулей

$$C_{11}(q) = C_{44}(q) = \frac{B^2}{4\pi} \frac{1}{1 + (q\lambda)^2}.$$

Е) Кривы потока [Лекция 6-6

и релаксац. намагниченности

1) Критическое состояние (Beam)



$$\frac{dB}{dx} = \frac{4\pi}{c} j = \frac{4\pi}{c} j_e(B)$$

$$\text{rot } \vec{H} = \frac{4\pi}{c} \vec{j}$$

2) Creep at $j \ll j_c$

$$v = v_0 \exp\left(-\frac{U(j, B, \dots)}{T}\right)$$

$$\vec{E} = \frac{1}{c} (\vec{B} \times \vec{v})$$

$\vec{B} \parallel z, \vec{E} \parallel y$

$$\left. \begin{aligned} \dot{B} &= -c \frac{\partial E}{\partial x} \\ \frac{\partial B}{\partial x} &= -\frac{4\pi}{c} j \end{aligned} \right\} \Rightarrow \left[\dot{j} = \frac{c}{4\pi} \frac{\partial^2 (vB)}{\partial x^2} \right]$$

(Maxwell)

U men remember B bude $j(x, t) = j(t) + \delta j(x, t)$

$$\frac{dj}{dt} = -\left(\frac{j_c}{\tau_0}\right) e^{-U(j)/T} \quad \tau_0 \approx \frac{d^2}{c^2 \rho_{FF}}$$

$$U(j(t)) = T \ln(1 + t/\tau_0)$$

$$\tau_0 = \epsilon_0 \frac{T}{j_c \left| \frac{\partial U}{\partial j} \right|} \sim \frac{T}{U_c} \frac{d^2}{c^2 \rho_{FF}}$$

$$\tau_0 = \epsilon_0 \frac{T}{j_c \left| \frac{\partial U}{\partial j} \right|} \sim \frac{T}{U_c} \frac{d^2}{c^2 \rho_{FF}}$$

3) Kalk kuantita $U(j)$? $\dot{x} = [L(j)]^{2\zeta-1}$

$$U(j) \sim F_{\text{pot}}(L(j)) \sim [L(j)]^{\zeta}$$

$$U(j) \sim j^{-\frac{\zeta}{\zeta-2}} L(j) \cdot u[L(j)] \sim j [L(j)]^{1+\zeta}$$

$$\frac{L}{j} = \text{const}$$

$$L(j) \sim j^{\frac{1}{\zeta-2}}$$

$U(j) \sim j^{\frac{2\zeta-1}{\zeta-2}}$	$\mu = \frac{2\zeta-1}{\zeta-2}$
--	----------------------------------